

熊本大学工学部 ○正員 小林一郎
 同上 学生員 杉野朗
 同上 正員 三池亮次

1.はじめに 最適設計を実橋の設計に適用する際、設計荷重の決め方がひとつの方題である。本研究はリニアスレーのいう接続マトリックスを用いることによって、最大の部材断面力を生ぜしめるような、荷重配置を考慮した、より実用的な荷重条件の下での最適設計を試みるものである。接続マトリックスの逆マトリックスにより、影響線マトリックスが得られるため、トラス構造においては、不静定構造においても SLP 法を用いる際の感度係数の算出がマトリックス演算のみで処理することが可能であり、一部は、先の報告の通りである。

2.影響線マトリックス 外力 p と部材断面力 P_m は、次のように陽形式に結びつけられる。

$$p = C P_m \quad (1) \quad , \quad P_m = K_m C^t (C K_m C^t)^{-1} p = A p \quad (2)$$

ただし、 C は接続マトリックス、 K_m は剛性マトリックス、 A は影響線マトリックスである。 A マトリックスの j 行ベクトル $\ell_j^t = [l_{j1} \ l_{j2} \ \dots \ l_{jn}]$ が、図-1 の n 部材の部材断面力の影響線の横距を与えるものとする。この ℓ_j^t を用いて、等分布死荷重 w_d と集中活荷重 P および等分布死荷重 w_d が作用するときの、最大部材断面力 P_{mj} を求める。

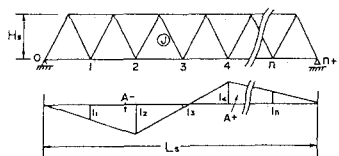


図-1 平行弦ケーブルトラスと影響線図

影響線図の正の面積の絶対値を A_+ 、負の面積の絶対値を A_- 、両者のうち大きい方を A とし、 \times には符号も考慮する。また $A_+ > A_-$ のときは横距の最大値を l_{max} 、 $A_- > A_+$ のときは最小値を l_{min} とする。

$$P_{mj} = (A_+ - A_-) w_d + l_{max} P + A_- p = \ell_j^t E P \quad (3)$$

ただし $E = [w_d \ P]$

上式で正は、合計公式より、面積 A_+ 、 A_- 等を求めるためのマトリックスである。各部材の応力度 σ_{max} は $\sigma_j = P_{mj}/A_j$ より求まるため、応力度の感度係数もマトリックス演算によって定式化される。

3.最適設計 式(3)より求められた部材最大応力度 σ_{max} を応力制限に用ひた最適設計を行なう。設計変数は次の 2 ケースとした。ただし、 r は最小回転半径であり、部材幅 a_i は全部材でひとつの変数とする。

ケース 1：断面積 A_i 、細長比 λ_i 、断面係数 $C_{Fz} (= h/2r)$ 、部材幅 a_i ($i=1, 2, \dots, m$) (ただし、 A_i は上下弦材でそれを共通の変数 (A_1, A_2) 、斜材では a_i で独立の変数とする。)

ケース 2：断面積 A_i 、細長比 λ_i 、部材高 h_i 、部材幅 a_i ($i=1, 2, \dots, m$) (ただし、 A_i は上下弦材でそれを共通の変数 (A_1, A_2) 、斜材では a_i で独立の変数とする。)

ただし、 m は部材の総数である。上記 2 ケースの設計変数の違いは、ケース 2 で、実橋に近い断脚に対するものと考えたためである。また、制約条件としては、極力、道路橋示方書(55年版)に従うものとして次のようにな。

$$1. \text{応力制限} \quad \sigma_{ca} \leq \sigma_{max} \leq \sigma_{ta} \quad (4)$$

ただし、 σ_{ca}, σ_{ta} は圧縮引張の許容応力度

$$2. \text{細長比制限} \quad \lambda_i \geq 120 \text{ or } 200 \quad (5)$$

ただし、 λ_i は面外座屈防止の条項より求められる定数

$$3. \text{たわみ制限} \quad d_i \leq \frac{L_s}{600} \quad (6)$$

ただし d_i ：活荷重による最大たわみ量
 L_s ：スパン長

$$4. \text{板厚制限} \quad t_f \geq 0.8 \text{ cm}, \quad t_w \geq 0.8 \text{ cm} \quad (7)$$

t_f ：フランジの板厚
 t_w ：ウェブの板厚

また、目的関数は体積最小である。鋼種は SS41(SM41), SM50, SM53(SM50Y), SM58 の 4 種類とし、部材ごとに、いくつかの鋼種を併用することもある。

4 数値計算例

(1) 3径間連続トラス 図-2のトラスについて、設

計変数の2つのケースについて解析を行なった。変数は
109(ケース1)と93(ケース2)で、設計荷重は $W_d = 42.2 \text{ kg/cm}$

$P = 19900 \text{ kg}$, $p = 13.8 \text{ kg/cm}$ とする。ただし、たわみ

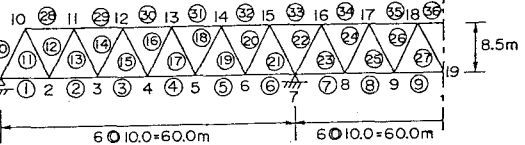


図-2 3径間連続トラス

制限は考慮されない。表-1は、各ケースの最適解を示す。

たもので、ケース2の主構重量はケース1に比較して6%大きくなる。これは

CPU TIMEは、81.9sec(ケース1) 50.8sec(ケース2)で、ケース1においては、応力制限によって解が得られる。そのため、本法では、いかゆる全応力度設計にはならず、従来の解法による結果よりも10%セント前後、主構重量が大きくなる。これは、(1)影響線を考慮するため、荷重が大きくなる。(2)板厚制限及びウェーブ幅(あるいはフランジ高さ)といくつかの部材共通の変数にてあるためであり、本法の解が安全側であり、より実際的な設計になつてゐる。

(2) 平行弦ワーレントラス 図-1に示すような単径間トラスについて主構高 H_s とスパン L_s 、パネル数 K ($K=6 \sim 12$) を変化させて解析を行ない。

それらの最適値 W^{opt} をプロットしたもののが図-3である。設計変数は、ケース1について行ない、SM53について示してある。図中、破線は、 L_s と K 一定にしたときの W^{opt} と H_s の関係を示したもので最適主構高 H_s^{opt} の存在することがわかる。実線は各スパン長において、各パネル数ごとの H_s^{opt} を結んだものである。任意のパネル数の解もこの線上にあるものと推定される。たとえば、 $L_s = 84 \text{ m}$, $K = 11$ のとき(■印)、図より、 $H_s^{opt} = 10.3 \text{ m}$, $W^{opt} = 46.60 \text{ t}$ が得られるが、これについて実際に用ひた数値計算結果は、 $H_s^{opt} = 10.0 \text{ m}$, $W^{opt} = 46.56 \text{ t}$ であった。一実験線は、 K 一定としたときのスパンと H_s^{opt} の関係を表したもので、たとえば、8パネルについては $L_s = 60 \text{ m}$ で $H_s^{opt} = 8.5 \text{ m}$, $L_s = 84 \text{ m}$ で $H_s^{opt} = 11.5 \text{ m}$, $L_s = 100 \text{ m}$ で $H_s^{opt} = 14.0 \text{ m}$ である。下弦材の長さを $L = L_s/K$ であるので、 L はそれぞれ 7.5 m , 10.5 m , 12.5 m となり、斜材と下弦材のなす角を θ とすると $\theta = 66.2^\circ$, 66.0° , 65.9° となる。つまりワーレントラスは正三角形($\theta = 60^\circ$)という従来へ定説に対し(2.2.3節)高い所に主構高 H_s の最適解があることがわかる。

5 あとがき 最適設計においては、クリティカルな応力状態に対する解を求めるため、設計荷重は影響線より得られる最大応力について解析するべきである。また、設計変数は、断面積だけではなく、部材幅、部材高さ等も加える必要がある。板厚制限等によって、解は全応力度設計にはならない。なお、天門橋(天草一橋)について行なった解析結果及び剛格骨組構造への本法の拡張については、その詳細は講演時に報告する予定である。

参考文献: リリースレ-RK「マトリックス構造解析入門」(培風館) 2) 小林・三池「影響線によるトラス橋の最適設計」第36回年次講演会概要集I-345 3) 小山・長「最適設計における計算の効率に関する研究」土木学会論文報告集 No.297, 1980

表-1 3径間連続トラスの最適解

序	断面積 $A(\text{cm}^2)$	断面高 $h(\text{cm})$	板厚 $t(\text{cm})$	板厚 $t_1(\text{cm})$	細線
1	74.7	10.9	3.0	0.8	0.8
2	134.0	11.9	*	1.0	1.2
3	160.6	12.9	*	1.0	1.6
4	136.4	13.0	*	0.9	0.8
5	74.7	10.9	*	0.8	0.8
6	135.9	14.7	*	*	1.2
7	149.6	16.2	4.2	*	1.0
8	81.7	16.9	*	*	0.9
9	103.1	17.0	*	*	0.8
10	143.3	14.9	4.6	*	1.1
11	78.7	7.7	24.3	1.1	0.8
12	108.7	9.4	23.6	2.2	0.8
13	66.8	6.3	23.0	22.8	*
14	*	*	*	*	*
15	19.2	8.7	18.6	18.7	*
16	66.8	15.2	23.0	22.8	*
17	103.1	10.0	23.6	22.9	*
18	109.8	9.8	27.2	1.8	*
19	147.0	49.9	46.3	0.8	1.1
20	116.4	11.4	27.7	1.9	2.0
21	206.4	20.9	44.0	45.2	0.8
22	178.1	19.4	43.9	43.1	*
23	49.5	9.5	26.3	24.3	1.5
24	118.7	11.6	37.1	36.7	0.8
25	86.6	8.6	25.1	1.3	*
26	41.1	8.7	19.9	20.2	0.8
27	66.8	6.3	23.0	22.8	*
28	146.1	152.0	40.8	35.9	*
29	165.0	17.4	42.7	*	1.3
30	166.4	18.4	42.8	*	1.2
31	120.1	12.3	37.3	*	0.9
32	76.7	14.8	10.9	*	0.8
33	115.1	11.2	11.9	0.9	2.1
34	75.7	11.8	10.9	0.8	*
35	48.3	24.3	*	*	*
36	108.3	30.6	*	*	*
	$\Sigma A = 1$	$\Sigma h = 2$	ケース1	ケース2	
	$b = 97.1 \text{ cm}$	$b = 35.9 \text{ cm}$	$W^{opt} = 62.27 \text{ ton}$	$W^{opt} = 66.14 \text{ ton}$	

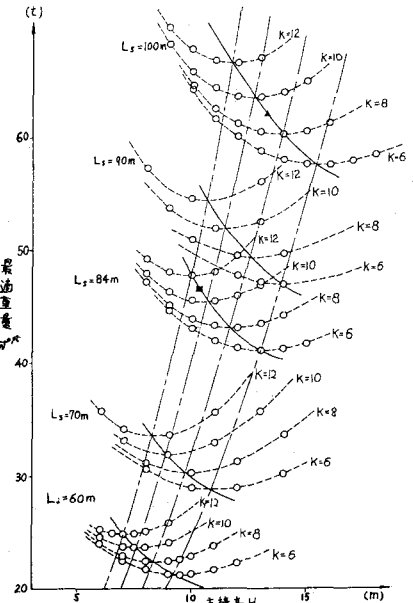


図-3 平行弦ワーレントラスの主構高と最適重量の関係